



Черкасский  
государственный  
технологический  
университет

**«Физико-химические основы озоно-  
радикальных процессов очистки воды  
на стадии водоподготовки»**

Д.т.н., профессор Столяренко Г.С.

## O<sub>3</sub>

Озон – простое вещество (аллотропная форма кислорода) с характерным запахом, обладающее высокой окислительной способностью, дезинфицирующими и дезодорирующими свойствами. Международный регистрационный номер озона – № CAS 10028-15-6.

Вследствие особенностей молекулярного строения (молекула озона – бирадикал), он обладает высокими окислительными свойствами, легко взаимодействуя с различными соединениями, уничтожая в результате окисления различные микроорганизмы.

Он действует как на окислительно-восстановительную систему бактерий, так и на их протоплазму. Этим можно объяснить его стерилизующие и дезинфицирующие свойства.

## WATER HARMONY II

Сравнение озона по электрохимическому окислительному потенциалу с другими веществами - окислителями

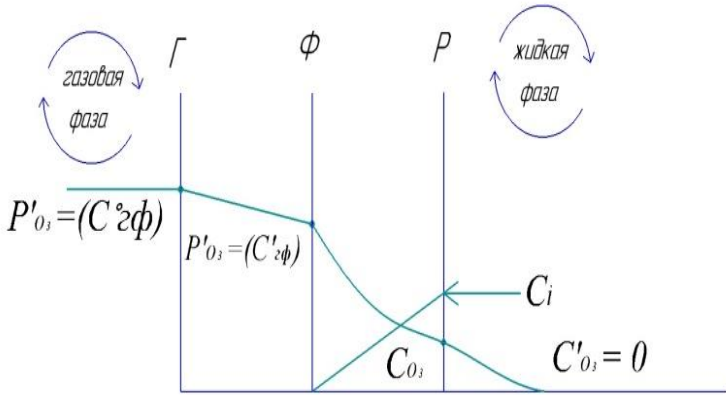
Вещество (окислитель)	Электрохимический окислительный потенциал (ЭОП)	Отношение ЭОП окислителей к ЭОП озона
Фтор	3,06	1,47
Гидроксил-радикал (ОН)	2,8	1,34
Кислород атомарный	2,42	1,16
<b>Озон</b>	<b>2,07</b>	<b>1,0</b>
Перекись водорода	1,78	0,85
Перманганат калия	1,51	0,72
Гипохлорит	1,49	0,71
Хлор	1,36	0,65
Диоксид хлора	1,27	0,61
Кислород молекулярный	1,23	0,59

## WATER HARMONY II

Коэффициент летальности микроорганизмов при действии озона и других дезинфицирующих средств при температуре воды 5 °С (л/мг мин)

Микроорганизмы	Озон рН=6-7	Свободный хлор рН=6-7	Диоксид хлора рН=6-7	Хлорамин рН=8-9
Коли-индекс	230-3400	92,2-135,6	6,15-11,5	0,032
Поливирусы	23,1-46,1	1,84-4,19	0,69-23,1	0,0036
Ротавирусы	76,8-768	92,2-461	2,20-23,1	0,0001
Цисты лямблий	7,68-9,22	0,031-0,98	0,18-0,20	0,002
Цисты зрелых лямблий	2,31-2,56	0,0073-0,15	0,25-0,64	0,003
Криптоспоридии	0,46-0,92	0,0006	0,03	0,0003

# Гетерофазный процесс оzoneирования в системе Газ-Жидкость



$\Gamma$  – пограничная пленка газа;

$\Phi$  – межфазная поверхность;

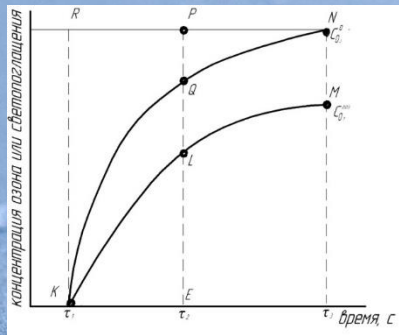
$P$  – граничная пленка жидкости;

$P'_O_3$ ,  $P'_O_3$  – парциальные давления  $O_3$ ;

$C_i$  – концентрации компонентов в жидкой фазе.

## Номограмма определения кинетических зависимостей озонирования

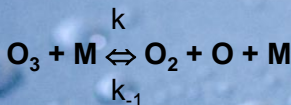
$$\Delta S = S_{KLPR} - S_{KQPR}$$



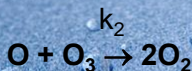
$$C_{O_3}^{\text{газ}} = \frac{\omega \cdot C_{O_3}^{0\text{газ}}}{\omega + \alpha \cdot K \cdot C_{peaz}} \left\{ 1 + \exp \left[ - \left( \frac{\omega}{\alpha} + K \cdot C_{peaz} \cdot \tau \right) \right] \right\}$$

## WATER HARMONY II

В газовой фазе, в воздухе при нагревании, под взаимодействием катализаторов , восстановителей или органических веществ он разлагается с образованием обычного кислорода.



$$k_1 = 7,8 \cdot 10^{11} [-2340/(RT)], \text{ л} \cdot \text{моль}^{-1} \cdot \text{с}^{-1};$$
$$k_{-1} = 1,24 \cdot 10^{-10} [-1090/(RT)], \text{ л} \cdot \text{моль}^{-1} \cdot \text{с}^{-1};$$



$$k_2 = 2,9 \cdot 10^9 [-3700/(RT)], \text{ л} \cdot \text{моль}^{-1} \cdot \text{с}^{-1},$$

где М - произвольная частица.

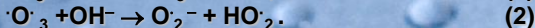
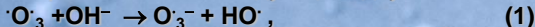
При хемодеструкции озона в гетерофазных окислительных процессах разложение озона протекает с образованием кислородсодержащих ион-радикалов. Для создания повышенных концентраций ион-радикалов применяются различные процессы:

- 1. Дросселирование предварительно озонированных растворов (ПОР).**
- 2. Регулировка pH ПОР**
- 3. Гомогенный катализ на основе ПОР**
- 4.. Электрохимическое разложение озона в ПОР**
- 5. Гетерогенный каталитический метод наложения электрического разряда в зоне распыления ПОР**
- 6. Фотолиз ПОР**
- 7. Прямой синтез кислородсодержащих радикалов из воды при жестком ультрафиолетовом облучении**

## Разложение озона в гетерофазных системах в водных растворах

Регулировка pH предварительно озонированных растворов (ПОР).

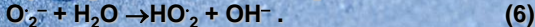
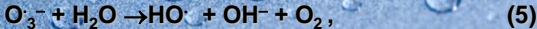
Первая стадия взаимодействия озона с гидроксил-ионом осуществляется параллельно по следующим двум каналам:



Вторичные реакции при низких pH также приводят к синтезу HO· и HO<sub>2</sub>·:



С повышением pH озонидный и супероксидный ион-радикалы вступают в известные реакции с молекулами воды:

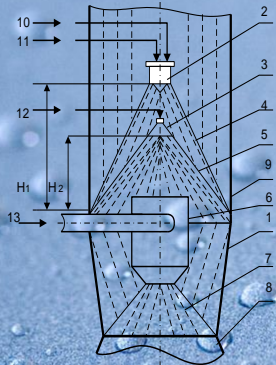


# Концентрация и кинетические данные окисления некоторых частиц

Окислитель	Концентрация, молекула / см <sup>3</sup>	Константы скорости реакции, см <sup>3</sup> / (молекула • с)		
		олефин	парафин	NO
O <sup>•</sup>	10 <sup>4</sup>	10 <sup>-11</sup> - 10 <sup>-12</sup>	10 <sup>-14</sup> - 10 <sup>-15</sup>	1,0 • 10 <sup>-31*</sup>
O <sub>3</sub>	10 <sup>-11</sup> - 10 <sup>13</sup>	10 <sup>-17</sup> - 10 <sup>-18</sup>	1 • 10 <sup>-20</sup>	1,5 • 10 <sup>-14</sup>
HO <sup>•</sup>	3 • 10 <sup>6</sup>	10 <sup>-10</sup> - 10 <sup>-12</sup>	10 <sup>-12</sup> - 10 <sup>-13</sup>	3,0 • 10 <sup>-30*</sup>
HO <sub>2</sub> <sup>•</sup>	5 • 10 <sup>20</sup>	10 <sup>-15</sup> - 10 <sup>-16</sup>	10 <sup>-20</sup> - 10 <sup>-22</sup>	1,0 • 10 <sup>-13</sup>
CH <sub>3</sub> O <sub>2</sub> <sup>•</sup>	2 • 10 <sup>7</sup>	1,0 • 10 <sup>-16</sup>	--	6,0 • 10 <sup>-13</sup>

## WATER HARMONY II

Гетерофазный процесс абсорбции озона водой в струе ОВС, совмещенном с трубой Вентури:  $H_1$  – зона инжектирования ОВС водой;  $H_2$  – зона коррекции pH для синтеза ион-радикалов из озонированной воды



- 1 – конфузор ; 2 – пневматическая форсунка; 3 – гидроакустическая форсунка; 4 – струя озонированного потока; 5 – факел коррекции pH озонированного потока; 6 – блок подачи загрязненной воды;
- 7 – зона озонирования и ион-радикального окисления; 8 – диффузор ;
- 9 – корпус реактора; 10 – подвод ОВС; 11 – подвод водного раствора;
- 12 – подача корректирующего pH раствора под высоким давлением;
- 13 – подвод воды на очистку

$$\beta = 1 - \exp(K_v \cdot V_{a.z.} / Q)$$

где  $\beta$ -степень абсорбции;

$K_v$  -объемный коэффициент скорости абсорбции,  $\tau^{-1}$ ;

$V_{a.z.}$ -объем абсорбционной зоны, м<sup>3</sup>;

$Q$ -расход газа, м<sup>3</sup> / ч.

$$K_v = A \cdot w_e^a \cdot L_o^e \cdot h_{a.z.}^c \cdot D_{an.}^d$$

В границах при  $w_e$  от 25 до 60 м/с и  $L_o$  от 20 до 45 м<sup>3</sup>/м<sup>2</sup>.ч; при

$D_{an.} = \text{const}$  для определения величины  $K_v$  можно пользоваться следующей формулой:

$$K_v = 1645 \cdot w_e^{0,12} \cdot L_o^{0,28}$$

$$K_v = (631 \text{ ha.z.} + 0,02)f$$

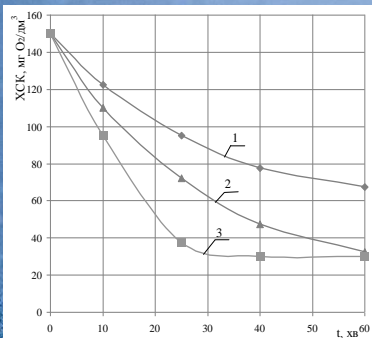
где "f" составляет -0,6 ... -0,82 для значения ha.z .к 0,4м от края

Диффузора

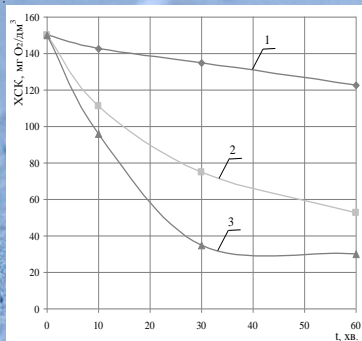
$$\gamma = \frac{2(1 + M \sqrt{\theta_e})}{1 + \sqrt{1 + 4(M \sqrt{\theta_e} / R)^2}}$$

где  $M$ ,  $\theta$  и  $R$  -в концентрационные, диффузные и кинетические параметры абсорбции

# Интенсификация процесса озонирования



Электроконтактный реактор

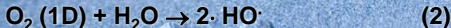


Фотокаталитический реактор

## Фотолиз ПОР

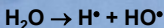
Для получения повышенных реальных текущих концентраций радикалов HO, HO<sub>2</sub>, фоторазложение озона и воды протекает с высоким квантовым выходом в условиях ультрафиолета при длине волны  $\lambda = 2537 \text{ Å}$ ; что приводит к минимизации разрушения нормальных клеток.

Реакции разложения озона протекают, вероятно, в следующей последовательности:

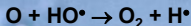


# Синтез радикалов в зоне барьерного разряда

$k_1$



$k_2$



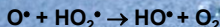
$$k_2 = 2,3 \cdot 10^{-11} \exp(110/T), \text{ см}^3/\text{с}$$

$k_3$



$$k_3 = 2,09 \cdot 10^{-32} \exp(290/T), \text{ см}^3/\text{с}$$

$k_4$



$$k_4 = 2,9 \cdot 10^{-11} \exp(200/T), \text{ см}^3/\text{с}$$

$k_5$



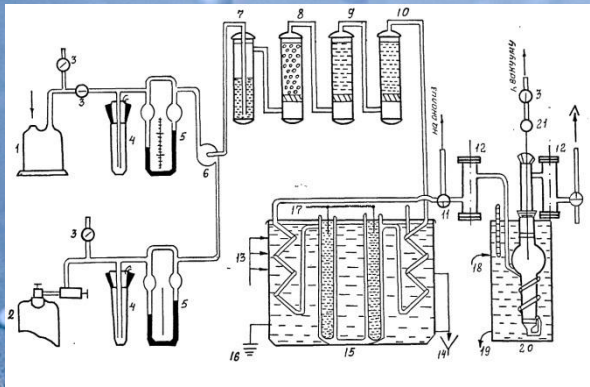
$$k_5 = 3,8 \cdot 10^{-11} \exp(85/T), \text{ см}^3/\text{с}$$

$k_6$



$$k_6 = 2,2 \cdot 10^{-11}, \text{ см}^3/\text{с}$$

## Схема лабораторной установки по изучению растворимости озона в различных жидкостях:



1 - воздуходувка, 2 - баллон с кислородом, 3 - регулятор расхода, 4 - маностат, 5 - ротаметр (реометр) 6 - смеситель; 7 - дрексель с  $\text{H}_2\text{SO}_4$ , 8 - стакан с силикагелем, 9 - стакан с Na, 10 - стакан с  $\text{P}_2\text{O}_5$ , 11-кран сброса, 12-куветы спектрофотометра; 13,14 - охлаждение озонатора, 15 - озонатор, 16 - заземления, 17 - лента высокого напряжения; 18,19-линия терmostатирования.

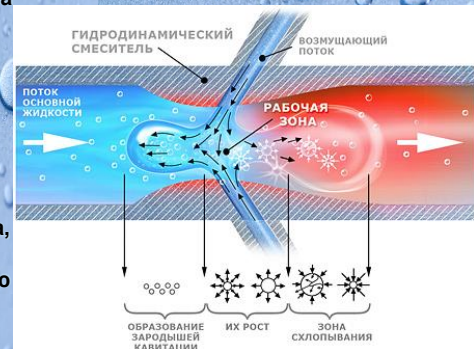
# ИНТЕНСИФИКАЦИЯ ПРОЦЕССА ОЗОНИРОВАНИЯ В КАВИТАЦИОННОМ РЕАКТОРЕ

Гидродинамическая кавитация возникает в высокоскоростном потоке жидкости при разрыве струи, обтекающей ребро поверхности. Во время обтекания острых граней за ними образуются пузырьковые каверны, в области которых происходит кавитационная обработка технологического дисперсного потока, а поверхность разрушается от взрыва пузырьков.

Обоснован выбор конструкции гидродинамического кавитатора.

Образование каверн переведено с поверхности острых граней в объем потока, что

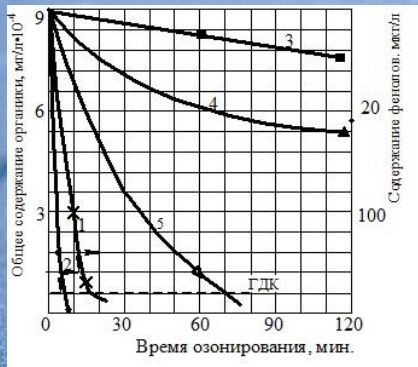
привело к увеличению на 5-6 порядков времени работы кавитатора.



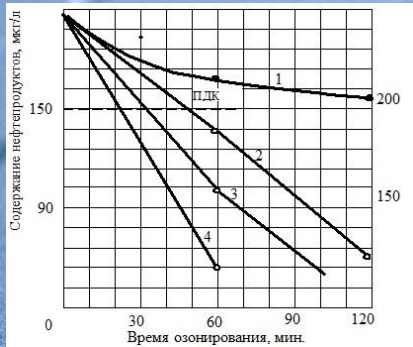
# Фотография гетерофазного озонирования под давлением



## Зависимость изменения содержания органических соединений от времени при озонировании модельного состава воды:

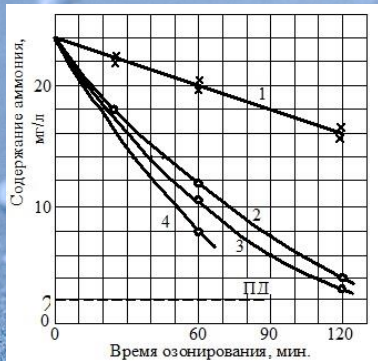


# Зависимость изменения содержания нефтепродуктов от времени при озонировании модельного состава воды



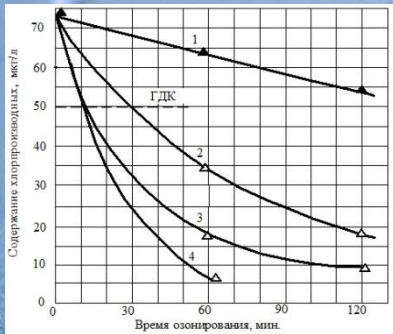
- 1 – отдувка воздухом ( $C_{O_3} = 0$ );
- 2 – озонирование в двухфазной системе без ультрафиолета;
- 3 – озонирование + УФ (спокойный слой 2 см);
- 4 – озонирование + УФ (барботаж).

# Зависимость изменения содержания аммония от времени при озонировании модельного состава воды



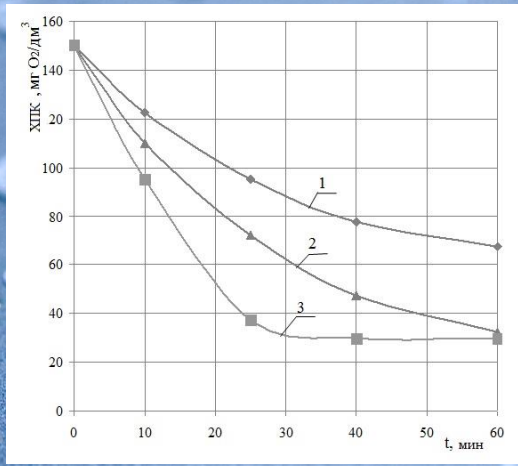
- 1 – отдувка воздухом без озона;
- 2 – озонирование в двухфазной системе без УФ;
- 3 – озонирование + УФ (спокойный слой 2 см.);
- 4 – озонирование + УФ (барботаж)

## Зависимость изменения содержания хлорпроизводных от времени при озонировании модельного состава воды



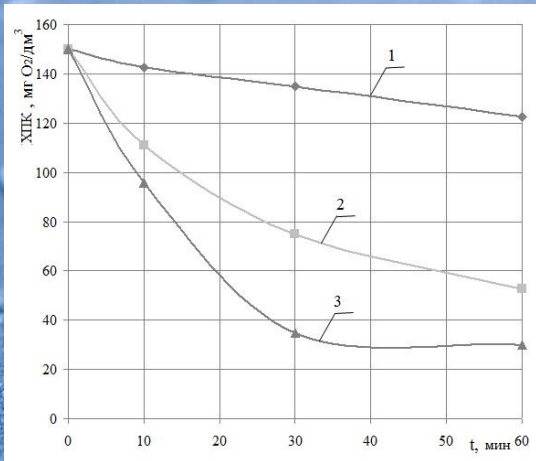
- 1 – отдувка воздухом без озона;
- 2 – озонирование в двухфазной системе без УФ;
- 3 – озонирование + УФ (спокойный слой 2 см.);
- 4 – озонирование + УФ (барботаж)

## Зависимость ХПС растворов с $Zn^{2+}$ от концентрации озона в озono-воздушной смеси



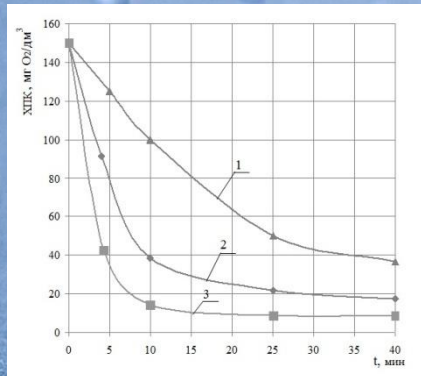
% об.: 1 – 0,075; 2 – 0,212; 3 – 0,29

. Зависимость показателя ХПК при озонировании растворов с  $Zn^{2+}$  от высоты слоя жидкости



1 – 100 мм; 2 – 500 мм; 3 – 1000 мм (система г – ж).  
Концентрация озона в озono-воздушной смеси 0,29% об.

## Зависимость ХПК растворов с $Zn^{2+}$ от времени протекания процесса озонирования и концентрации (система г – ж – т)



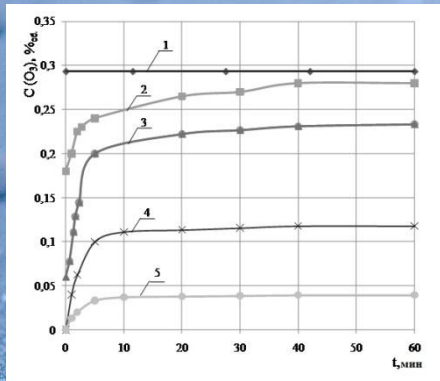
1 – озONO-воздушная смесь в системе г – ж;

2 – озONO-воздушная смесь в системе г – ж – т с содержанием  $ZnO$  1,5 г/дм<sup>3</sup>;

3 – озONO-воздушная смесь в системе г – ж – т с содержанием  $ZnO$  3,5 г/дм<sup>3</sup>;

Концентрация озона в озONO-воздушной смеси 0,29% об.

## Зависимость концентрации озона при взаимодействии с щелочным раствором $Zn^{2+}$ .



- 1 – концентрация озона на входе в реакционный стакан;  
2 – 5 – концентрация озона на выходе при высоте шара, мм:  
2 – 100 (г– ж); 3 – 300 (г– ж); 4 – 1000 (г– ж); 5 – 1000 (г– ж – т).

## ЭЛЕКТРОХИМИЧЕСКОЕ РАЗЛОЖЕНИЕ ОЗОНА

Доза озона при прямом озонировании сточных вод составила 20...25 г/м<sup>3</sup>;  
время контакта воды с озоно-воздушной смесью - 30...45 минут.

Электрохимическая интенсификация стадии озонирования ускоряет: процессы увеличения прозрачности и снижения цветности - в 5...6 раз; процессы химической деструкции органических соединений - в 1,5...2 раза; снижает: необходимое время контакта фаз с 10...45 до 10...15 минут и требуемую дозу озона - с 20...25 до 12...16 мг/м<sup>3</sup>.

При длительной эксплуатации электроконтактного реактора озонирования (до 100 часов) наблюдается постепенное понижение эффекта электрохимического воздействия на процесс разложения органических соединений.

## WATER HARMONY II



Приглашаем к  
сотрудничеству

Телефон: +380-472-730221

E-mail:

[ozon\\_gs@rambler.ru](mailto:ozon_gs@rambler.ru)

# ФОТОЛИЗ ПАРОВ ВОДЫ

Например, при длине волны  $\lambda < 1470 \text{ \AA}$  в условиях вакуумного ультрафиолета радикалы  $\text{HO}^\cdot$ ,  $\text{HO}_2^\cdot$  образуются с высоким квантовым выходом при разложении воды:



Колебательно возбужденные радикалы  $\text{HO}^\cdot$  и  $\text{HO}_2^\cdot$  при любых концентрациях практически мгновенно (0,01 -0,001 с) вступают в реакцию с органическими соединениями.

Синтез кислорода в атмосфере Земли:

